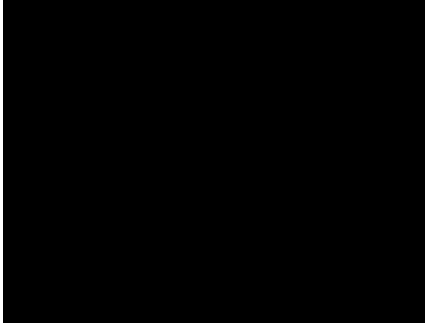


Katowice, dn. 2024-11-22

T-Mobile Polska S.A.
ul. Marynarska 12
02-674 Warszawa



Starosta Nowosądecki
Starostwo Powiatowe w Nowym Sączu
ul. Jagiellońska 33
33-300 Nowy Sącz

Dotyczy: ustawowego obowiązku, wynikającego z art. 152 ust. 1 i ust. 7 w związku z ust. 6 pkt 1c ustawy z dnia 27 kwietnia 2001r – Prawo ochrony środowiska (Dz.U. 2024 poz. 54).

Działając z upoważnienia T-Mobile Polska S.A. z siedzibą ul. Marynarska 12, 02-674 Warszawa, **informuję o zmianie danych w zakresie wielkości i rodzaju emisji** dla instalacji radiokomunikacyjnej **56453 (26452N!) KNO_KORZENNA_KONIUSZOWA** zlokalizowanej w miejscowości ŁĘKA DZ.325. W stosunku do informacji zawartej w zgłoszeniu realizowanym dla tej instalacji w trybie art. 152 ust. 1 i 5 ustawy z dnia 27 kwietnia 2001r – Prawo ochrony środowiska (Dz.U. 2024 poz. 54), dane ulegają zmianie w następujący sposób:

9. Wielkość i rodzaj emisji²⁾:

Pole elektromagnetyczne. EIRP poszczególnych anten zostało podane w pkt 12, tj.

Lp.	Równoważna moc promieniowana izotropowo (EIRP) [W]
1.	22876
2.	28510
3.	22876
4.	28510
5.	22876
6.	28510
7.	7080
8.	4689/6310

12. Szczegółowe dane, odpowiednio do rodzaju instalacji, zgodne z wymaganiami określonymi w załączniku nr 2 do Rozporządzenia:

Lp.	1)	2)	3)	4)	5)	
	Współrzędne geograficzne	Częstotliwość lub zakresy częstotliwości pracy instalacji [MHz]	Wysokość środka elektrycznego anteny [m n.p.t]	Równoważna moc promieniowana izotropowo (EIRP) [W]	Azymut [°]	Kąt pochylenia lub zakresy kątów pochylenia [°]
1.	20°47'33.5" 49°40'3.6"	800/900/1800/ 2100	47	22876	100	5/5/5/5
2.	20°47'33.5" 49°40'3.6"	3600	47	28510	100	0-12
3.	20°47'33.5" 49°40'3.6"	800/900/1800/ 2100	47	22876	210	5/5/5/5
4.	20°47'33.4" 49°40'3.6"	3600	47	28510	210	0-12
5.	20°47'33.4" 49°40'3.6"	800/900/1800/ 2100	47	22876	330	5/5/5/5
6.	20°47'33.4" 49°40'3.6"	3600	47	28510	330	0-12
7.	20°47'33.5" 49°40'3.6"	80000	47	7080	68*	nd.
8.	20°47'33.4" 49°40'3.6"	23000/80000	47	4689/6310	226*	nd.

*) tolerancja azymutu od -10° do + 10°.

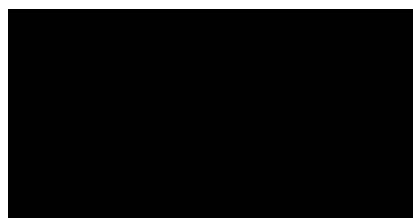
Informuję, iż dokonane zmiany w zakresie wielkości i rodzaju emisji przedmiotowej instalacji nie powodują zmiany instalacji w sposób istotny zgodnie z art. 3 pkt 7 ustawy Poś.

W załączniku przesyłam:

1. Pełnomocnictwo
2. Kopia potwierdzenia wniesienia opłaty skarbowej.
3. Sprawozdanie z pomiarów pól elektromagnetycznych wykonanych dla celów ochrony środowiska.

Otrzymują:

1. a/a
2. adresat





NetWorks Sp. z o.o.
Laboratorium Badań Środowiskowych
ul. Józefa Piusa Dziekońskiego 3
00-728 Warszawa
e-mail: Laboratorium@networks.pl



AB 419

S P R A W O Z D A N I E 12336/2023/OS
Z POMIARÓW PÓL ELEKTROMAGNETYCZNYCH
WYKONANYCH DLA POTRZEB OCHRONY ŚRODOWISKA

Badany obiekt: Instalacja radiokomunikacyjna T-Mobile Polska S.A.
Numer i nazwa: 56453 (26452N!) KNO_KORZENNA_KONIUSZOWA
Adres: ŁĘKA DZ.325, Powiat nowosądecki, WOJ. MAŁOPOLSKIE

Data wykonania pomiarów: 2024-11-13

Sprawozdanie z badań bez pisemnej zgody laboratorium nie może być powielane inaczej niż w całości.
Wynik przedstawione w niniejszym sprawozdaniu odnoszą się wyłącznie do badanego obiektu i do warunków i konfiguracji urządzeń w dniu wykonywania pomiarów.

1. Właściciel badanego obiektu:

T-Mobile Polska S.A., ul. Marynarska 12, 02-674 Warszawa

2. Zleceniodawca:

T-Mobile Polska S.A., ul. Marynarska 12, 02-674 Warszawa

3. Przedstawiciel zleceniodawcy:

NetWorks Sp. z o.o.

4. Zakres zlecenia:

Wykonanie badania i opracowanie sprawozdania z pomiarów natężenia pola elektrycznego i pola magnetycznego dla instalacji radiokomunikacyjnej T-Mobile Polska S.A. zlokalizowanej w miejscowości ŁĘKA DZ.325.

5. Cel zlecenia:

Wykonanie pomiarów pól elektromagnetycznych w otoczeniu instalacji radiokomunikacyjnej 56453 (26452N!) KNO_KORZENNA_KONIUSZOWA w odniesieniu do wymagań określonych w *Rozporządzeniu Ministra Klimatu z dnia 17 lutego 2020 r. w sprawie sposobów sprawdzania dotrzymania dopuszczalnych poziomów pól elektromagnetycznych w środowisku (Dz.U. 2022 poz. 2630)*.

6. Pomiary zostały wykonane przez:

██████████
██████████

7. Informacje o źródłach pól elektromagnetycznych

7.1. Sposób identyfikacji badanych źródeł pól elektromagnetycznych

Identyfikacji źródeł i parametrów technicznych dokonano na podstawie analizy dokumentacji dotyczącej zlecenia oraz obserwacji miejsca wykonywania badań.

7.2. Opis miejsca zainstalowania anten i urządzeń technicznych. Opis obiektu badań i jego otoczenia

Instalacja radiokomunikacyjna zlokalizowana jest na terenie ogrodzonym. Anteny zawieszono na wieży kratowej. Urządzenia sterujące oraz zasilające zainstalowano w szafie outdoor u podstawy wieży. Wokół instalacji znajdują się tereny zielone, pola.

Instalacja radiokomunikacyjna jest obiektem bezobsługowym. Okresowe stanowiska pracy związane są z prowadzonymi w zależności od potrzeb konserwacjami, przeglądami, strojeniem i naprawami.

Sprawozdanie z badań bez pisemnej zgody laboratorium nie może być powielane inaczej niż w całości.
Wynik przedstawione w niniejszym sprawozdaniu odnoszą się wyłącznie do badanego obiektu i do warunków i konfiguracji urządzeń w dniu wykonywania pomiarów.

7.3. Parametry techniczne źródła pola elektromagnetycznego

Dane przedstawiające maksymalne parametry pracy instalacji przekazane przez zleceniodawcę:

Parametry systemu nadawczo-odbiorczego:

Charakterystyka promieniowania		kierunkowa					
Rzeczywisty czas pracy [h/dobę]		24					
Warunki pracy		znamionowe					
Rodzaj wytwarzanego pola		stacjonarne					
Lp.	Częstotliwość lub zakresy częstotliwości pracy [MHz]	Typ/producent anteny	liczba anten	Azymut [°]	kąt pochylecia [°]	Wysokość środka elektrycznego anteny [m n.p.t]	Równoważna moc promieniowana izotropowo (EIRP) [W]
1	800/900/1800/2100	ASI4518R10v18 Huawei	1	100	5*/5*/5*/5*	47	22876
2	3600	AAU5349 Huawei	1	100	0-12**	47	28510
3	800/900/1800/2100	ASI4518R10v18 Huawei	1	210	5*/5*/5*/5*	47	22876
4	3600	AAU5349 Huawei	1	210	0-12**	47	28510
5	800/900/1800/2100	ASI4518R10v18 Huawei	1	330	5*/5*/5*/5*	47	22876
6	3600	AAU5349 Huawei	1	330	0-12**	47	28510

* wskazane wartości kąta pochylecia anten, zgodnie z informacją uzyskaną od zleceniodawcy, są wartościami stałymi

** pomiary wykonane przy ustawionym średnim kącie pochylecia będącym średnią arytmetyczną z zakresu

Parametry radiolinii:

Charakterystyka promieniowania		kierunkowa					
Rzeczywisty czas pracy [h/dobę]		24					
Warunki pracy		znamionowe					
Rodzaj wytwarzanego pola		stacjonarne					
Lp.	Linia radiowa			Antena			
	Typ/Producent	Częstotliwość pracy [GHz]	Równoważna moc promieniowana izotropowo (EIRP) [W]	Typ/producent	Średnica anteny [m]	Azymut [°]	Wysokość zainstalowania n.p.t [m]
1.	RTN 380AX 70/80GHz 500MHz Huawei	80	7080	A80S06 Huawei	0.6	68	47
2.	RTN XMC-3E 23G 28MHz XPIC / RTN 380AX 70/80GHz 500MHz Huawei	23/80	4689/6310	A23D80S06 Huawei	0.6	226	47

7.4 Inne źródła pól elektromagnetycznych

Na podstawie informacji otrzymanych od użytkownika oraz obserwacji otoczenia miejsca wykonywania pomiarów stwierdzono występowanie innych źródeł pola-EM, pracujących w systemie: telefonii komórkowej (800MHz-2600MHz), linii radiowych (5GHz – 90GHz), które istotnie wpływają na wyniki pomiarów.

Sprawozdanie z badań bez pisemnej zgody laboratorium nie może być powielane inaczej niż w całości.
 Wynik przedstawione w niniejszym sprawozdaniu odnoszą się wyłącznie do badanego obiektu i do warunków i konfiguracji urządzeń w dniu wykonywania pomiarów.

8. Opis pomiarów

8.1. Metoda badań

Zgodna z rozporządzeniem Ministra Klimatu z dnia 17 lutego 2020 r. w sprawie sposobów sprawdzania dotrzymania dopuszczalnych poziomów pól elektromagnetycznych w środowisku (Dz.U. 2022 poz. 2630), określona w pkt 25 ppkt 1 załącznika do niniejszego rozporządzenia.

8.2. Termin pomiarów i warunki środowiskowe

Podczas wykonywania pomiarów pól elektromagnetycznych nie występowały opady atmosferyczne. Wyniki pomiaru parametrów pogodowych przedstawia poniższa tabela:

Data [rrrr-mm-dd]	Godzina [hh:mm-hh:mm]	Warunki środowiskowe			
		Temperatura [°C]		Wilgotność względna [%]	
2024-11-13	15:10-16:20	Przed pomiarem	Po pomiarach	Przed pomiarem	Po pomiarach
		1.2	1.1	71.1	71.2

Przedstawione wyżej warunki środowiskowe, występujące podczas wykonywania pomiarów pól elektromagnetycznych, są zgodne ze specyfikacją techniczną użytego zestawu pomiarowego.

8.3. Warunki pracy urządzeń nadawczych

Podczas pomiarów w przypadku uzyskania wyniku pomiaru szerokopasmowego wykonanego zastosowaną metodą, dla zakresów częstotliwości od 10 MHz do 300 GHz, powiększonego o rozszerzoną niepewność pomiaru U dla współczynnika rozszerzenia $k = 2$ przekraczającego 70% najniższej dopuszczalnej wartości składowej elektrycznej lub magnetycznej pola dla objętych pomiarami zakresów częstotliwości, uwzględnia się poprawki pomiarowe przekazane przez zleceniodawcę, umożliwiające uwzględnienie maksymalnych parametrów pracy instalacji zgodnie z pkt 7 załącznika do Rozporządzeniem Ministra Klimatu z dnia 17 lutego 2020 r. w sprawie sposobów sprawdzania dotrzymania dopuszczalnych poziomów pól elektromagnetycznych w środowisku (Dz. U. 2022, poz. 2630) zaznaczając, że wymagane jest wykonanie pomiaru z wykorzystaniem miernika selektywnego. W przypadku uzyskania wyniku pomiaru szerokopasmowego wykonanego zastosowaną metodą, dla zakresów częstotliwości od 10 MHz do 300 GHz, powiększonego o rozszerzoną niepewność pomiaru U dla współczynnika rozszerzenia $k = 2$ nieprzekraczającego 70% najniższej dopuszczalnej wartości składowej elektrycznej lub magnetycznej pola dla objętych pomiarami zakresów częstotliwości, nie uwzględnia się poprawek pomiarowych.

8.4. Wyposażenie pomiarowe

Zestaw pomiarowy służący do pomiaru natężenia składowej elektrycznej pola elektromagnetycznego złożony z szerokopasmowego miernika i sondy pomiarowej:

Oznaczenie miernika	Producent	Model	Numer fabryczny	Oznaczenie sondy	Producent	Model	Numer fabryczny
MF-02	Narda Safety Test Solution	Miernik pól elektromagnetycznych Narda FieldMan	B-0120	SF-03	Narda Safety Test Solution	Sonda EFD-6091	A-0061

Mierniki natężenia pola elektromagnetycznego podlegają okresowemu sprawdzeniu zgodnie z procedurą wewnętrzną P-03 i PB-01. Świadectwo wzorcowania zestawu pomiarowego z dnia 6 grudnia 2023 o numerze LWiMP/W/465/23 wydane przez Politechnika Wrocławską.

Data ważności świadectwa wzorcowania: 6 grudnia 2025 (zgodnie z procedurą wewnętrzną P-03).

Oznaczenie miernika	Producent	Model	Numer fabryczny	Oznaczenie sondy	Producent	Model	Numer fabryczny
MF-02	Narda Safety Test Solution	Miernik pól elektromagnetycznych Narda FieldMan	B-0120	SF-04	Narda Safety Test Solution	Sonda EFD-0691	A-0156

Mierniki natężenia pola elektromagnetycznego podlegają okresowemu sprawdzeniu zgodnie z procedurą wewnętrzną P-03 i PB-01. Świadectwo wzorcowania zestawu pomiarowego z dnia 13 września 2024 o numerze LWiMP/P/328/24 wydane przez Politechnika Wrocławską.

Data ważności świadectwa wzorcowania: 13 września 2026 (zgodnie z procedurą wewnętrzną P-03).

Sprawozdanie z badań bez pisemnej zgody laboratorium nie może być powielane inaczej niż w całości.
Wynik przedstawione w niniejszym sprawozdaniu odnoszą się wyłącznie do badanego obiektu i do warunków i konfiguracji urządzeń w dniu wykonywania pomiarów.

Termohigrometr:

Oznaczenie:	TH-29	Producent:	AZ INSTRUMENT CORP	Model:	Termohigrometr AZ8706
-------------	-------	------------	--------------------	--------	-----------------------

Data ważności świadectwa wzorcowania: 19 października 2025 (zgodnie z procedurą wewnętrzną P-03).

Dalmierz:

Oznaczenie	Producent	Typ	Numer seryjny	Nr świadectwa wzorcowania	Data świadectwa wzorcowania
D-05	Leica	Dalmierz Leica Disto X310	843960151	1146.5-M11-4180-396/15	8 kwietnia 2015

Data ważności świadectwa wzorcowania: 8 kwietnia 2025 (zgodnie z procedurą wewnętrzną P-03).

Odbiornik GNSS:

Odbiornik GNSS wbudowany w miernik natężenia pola elektromagnetycznego użyty podczas pomiarów	Producent	Model
	UBlox	NEO-M8T

Odbiorniki podlegają okresowemu sprawdzeniu zgodnie z procedurą wewnętrzną P-03.

9. Wyniki pomiarów

Pole elektryczne

Nr pionu	Opis umiejscowienia pionu (punktu) pomiarowego	Wysokość pomiaru [m]	Zmierzona wartość natężenia pola elektrycznego E [V/m] ^{1,5}			Wartość natężenia pola elektrycznego powiększona o niepewność pomiaru ⁴ E [V/m]	Wskaźnikowa wartość poziomu emisji pól elektromagnetycznych WM _E ³	Współrzędne geograficzne pionu (punktu) pomiarowego ²
			Sonda SF-03	Sonda SF-04	Wartość			
1	GKP w odległości 6m od anteny sektorowej az. 100°	0.3-2.0	<1.0*	<1.0*	<1.0*	1.3	0.05	49°40'3.7" 20°47'33.7"
2	GKP w odległości 47m od anteny sektorowej az. 100°	0.3-2.0	<1.0*	<1.0*	<1.0*	1.3	0.05	49°40'3.4" 20°47'35.9"
3	GKP w odległości 100m od anteny sektorowej az. 100°	0.3-2.0	<1.0*	<1.0*	<1.0*	1.3	0.05	49°40'3.0" 20°47'38.4"
4	GKP w odległości 7m od anteny sektorowej az. 210°	0.3-2.0	<1.0*	<1.0*	<1.0*	1.3	0.05	49°40'3.4" 20°47'33.4"
5	GKP w odległości 48m od anteny sektorowej az. 210°	0.3-2.0	<1.0*	<1.0*	<1.0*	1.3	0.05	49°40'2.3" 20°47'32.3"
6	GKP w odległości 95m od anteny sektorowej az. 210°	0.3-2.0	<1.0*	<1.0*	<1.0*	1.3	0.05	49°40'0.8" 20°47'31.2"
7	GKP w odległości 6m od anteny sektorowej az. 330°	0.3-2.0	<1.0*	<1.0*	<1.0*	1.3	0.05	49°40'3.7" 20°47'33.4"
8	GKP w odległości 49m od anteny sektorowej az. 330°	0.3-2.0	<1.0*	<1.0*	<1.0*	1.3	0.05	49°40'5.2" 20°47'32.3"
9	GKP w odległości 96m od anteny sektorowej az. 330°	2.0	1.3	1.3	1.3	1.7	0.06	49°40'6.2" 20°47'30.8"
10	GKP w odległości 11m od anteny radioliniowej az. 226°	0.3-2.0	<1.0*	<1.0*	<1.0*	1.3	0.05	49°40'3.4" 20°47'33.0"

Sprawozdanie z badań bez pisemnej zgody laboratorium nie może być powielane inaczej niż w całości.
 Wynik przedstawione w niniejszym sprawozdaniu odnoszą się wyłącznie do badanego obiektu i do warunków i konfiguracji urządzeń w dniu wykonywania pomiarów.

11	GKP w odległości 57m od anteny radioliniowej az. 226°	0.3-2.0	<1.0*	<1.0*	<1.0*	1.3	0.05	49°40'2.3" 20°47'31.2"
12	GKP w odległości 15m od anteny radioliniowej az. 68°	0.3-2.0	<1.0*	<1.0*	<1.0*	1.3	0.05	49°40'3.7" 20°47'34.1"
13	GKP w odległości 54m od anteny radioliniowej az. 68°	0.3-2.0	<1.0*	<1.0*	<1.0*	1.3	0.05	49°40'4.1" 20°47'35.9"
14	PKP na az. 284° w odległości 48m od anteny sektorowej az. 330°	0.3-2.0	<1.0*	<1.0*	<1.0*	1.3	0.05	49°40'4.1" 20°47'31.2"
15	PKP na az. 300° w odległości 43m od anteny sektorowej az. 330°	0.3-2.0	<1.0*	<1.0*	<1.0*	1.3	0.05	49°40'4.4" 20°47'31.6"
16	PKP na az. 315° w odległości 46m od anteny sektorowej az. 330°	0.3-2.0	<1.0*	<1.0*	<1.0*	1.3	0.05	49°40'4.8" 20°47'31.9"
17	PKP na az. 345° w odległości 47m od anteny sektorowej az. 330°	0.3-2.0	<1.0*	<1.0*	<1.0*	1.3	0.05	49°40'5.2" 20°47'33.0"
18	PKP na az. 360° w odległości 43m od anteny sektorowej az. 330°	0.3-2.0	<1.0*	<1.0*	<1.0*	1.3	0.05	49°40'5.2" 20°47'33.4"
19	PKP na az. 16° w odległości 49m od anteny sektorowej az. 330°	0.3-2.0	<1.0*	<1.0*	<1.0*	1.3	0.05	49°40'5.2" 20°47'34.1"
20	PKP na az. 54° w odległości 43m od anteny sektorowej az. 100°	0.3-2.0	<1.0*	<1.0*	<1.0*	1.3	0.05	49°40'4.4" 20°47'35.2"
21	PKP na az. 85° w odległości 47m od anteny sektorowej az. 100°	0.3-2.0	<1.0*	<1.0*	<1.0*	1.3	0.05	49°40'3.7" 20°47'35.9"
22	PKP na az. 115° w odległości 50m od anteny sektorowej az. 100°	0.3-2.0	<1.0*	<1.0*	<1.0*	1.3	0.05	49°40'3.0" 20°47'35.9"
23	PKP na az. 130° w odległości 41m od anteny sektorowej az. 100°	0.3-2.0	<1.0*	<1.0*	<1.0*	1.3	0.05	49°40'2.6" 20°47'35.2"
24	PKP na az. 146° w odległości 53m od anteny sektorowej az. 100°	0.3-2.0	<1.0*	<1.0*	<1.0*	1.3	0.05	49°40'2.3" 20°47'35.2"
25	PKP na az. 164° w odległości 48m od anteny sektorowej az. 210°	0.3-2.0	<1.0*	<1.0*	<1.0*	1.3	0.05	49°40'1.9" 20°47'34.1"
26	PKP na az. 180° w odległości 39m od anteny sektorowej az. 210°	0.3-2.0	<1.0*	<1.0*	<1.0*	1.3	0.05	49°40'2.3" 20°47'33.4"

Sprawozdanie z badań bez pisemnej zgody laboratorium nie może być powielane inaczej niż w całości.
Wynik przedstawione w niniejszym sprawozdaniu odnoszą się wyłącznie do badanego obiektu i do warunków i konfiguracji urządzeń w dniu wykonywania pomiarów.

27	PKP na az. 195° w odległości 47m od anteny sektorowej az. 210°	0.3-2.0	<1.0*	<1.0*	<1.0*	1.3	0.05	49°40'2.3" 20°47'33.0"
28	PKP na az. 225° w odległości 45m od anteny sektorowej az. 210°	0.3-2.0	<1.0*	<1.0*	<1.0*	1.3	0.05	49°40'2.6" 20°47'31.9"
29	PKP na az. 240° w odległości 45m od anteny sektorowej az. 210°	0.3-2.0	<1.0*	<1.0*	<1.0*	1.3	0.05	49°40'3.0" 20°47'31.6"
30	PKP na az. 256° w odległości 45m od anteny sektorowej az. 210°	0.3-2.0	<1.0*	<1.0*	<1.0*	1.3	0.05	49°40'3.4" 20°47'31.2"
-	GKP w odległości 281m od anteny sektorowej az. 210°	0.3-2.0	<1.0*	<1.0*	<1.0*	1.3	0.05	49°39'55.8" 20°47'26.5"
-	GKP w odległości 321m od anteny sektorowej az. 100°	0.3-2.0	<1.0*	<1.0*	<1.0*	1.3	0.05	49°40'1.9" 20°47'49.2"
-	GKP w odległości 276m od anteny sektorowej az. 330°	0.3-2.0	<1.0*	<1.0*	<1.0*	1.3	0.05	49°40'11.3" 20°47'26.5"

Pole magnetyczne (wyznaczone na podstawie pomiaru wartości natężenia pola elektrycznego)

Nr pionu	Opis umiejscowienia pionu (punktu) pomiarowego	Wysokość pomiaru [m]	Wartość natężenia pola magnetycznego H [A/m] ¹			Wartość natężenia pola magnetycznego powiększona o niepewność pomiaru ⁴ H [A/m]	Wskaźnikowa wartość poziomu emisji pól elektromagnetycznych WM _H ³	Współrzędne geograficzne pionu (punktu) pomiarowego ²
			Sonda SF-03	Sonda SF-04	Wartość			
1	GKP w odległości 6m od anteny sektorowej az. 100°	0.3-2.0	<0.003*	<0.003*	<0.003*	0.003	0.05	49°40'3.7" 20°47'33.7"
2	GKP w odległości 47m od anteny sektorowej az. 100°	0.3-2.0	<0.003*	<0.003*	<0.003*	0.003	0.05	49°40'3.4" 20°47'35.9"
3	GKP w odległości 100m od anteny sektorowej az. 100°	0.3-2.0	<0.003*	<0.003*	<0.003*	0.003	0.05	49°40'3.0" 20°47'38.4"
4	GKP w odległości 7m od anteny sektorowej az. 210°	0.3-2.0	<0.003*	<0.003*	<0.003*	0.003	0.05	49°40'3.4" 20°47'33.4"
5	GKP w odległości 48m od anteny sektorowej az. 210°	0.3-2.0	<0.003*	<0.003*	<0.003*	0.003	0.05	49°40'2.3" 20°47'32.3"
6	GKP w odległości 95m od anteny sektorowej az. 210°	0.3-2.0	<0.003*	<0.003*	<0.003*	0.003	0.05	49°40'0.8" 20°47'31.2"
7	GKP w odległości 6m	0.3-2.0	<0.003*	<0.003*	<0.003*	0.003	0.05	49°40'3.7" 20°47'33.4"

Sprawozdanie z badań bez pisemnej zgody laboratorium nie może być powielane inaczej niż w całości.
 Wynik przedstawione w niniejszym sprawozdaniu odnoszą się wyłącznie do badanego obiektu i do warunków i konfiguracji urządzeń w dniu wykonywania pomiarów.

	od anteny sektorowej az. 330°							
8	GKP w odległości 49m od anteny sektorowej az. 330°	0.3-2.0	<0.003*	<0.003*	<0.003*	0.003	0.05	49°40'5.2" 20°47'32.3"
9	GKP w odległości 96m od anteny sektorowej az. 330°	2.0	0.003	0.003	0.003	0.004	0.06	49°40'6.2" 20°47'30.8"
10	GKP w odległości 11m od anteny radioliniowej az. 226°	0.3-2.0	<0.003*	<0.003*	<0.003*	0.003	0.05	49°40'3.4" 20°47'33.0"
11	GKP w odległości 57m od anteny radioliniowej az. 226°	0.3-2.0	<0.003*	<0.003*	<0.003*	0.003	0.05	49°40'2.3" 20°47'31.2"
12	GKP w odległości 15m od anteny radioliniowej az. 68°	0.3-2.0	<0.003*	<0.003*	<0.003*	0.003	0.05	49°40'3.7" 20°47'34.1"
13	GKP w odległości 54m od anteny radioliniowej az. 68°	0.3-2.0	<0.003*	<0.003*	<0.003*	0.003	0.05	49°40'4.1" 20°47'35.9"
14	PKP na az. 284° w odległości 48m od anteny sektorowej az. 330°	0.3-2.0	<0.003*	<0.003*	<0.003*	0.003	0.05	49°40'4.1" 20°47'31.2"
15	PKP na az. 300° w odległości 43m od anteny sektorowej az. 330°	0.3-2.0	<0.003*	<0.003*	<0.003*	0.003	0.05	49°40'4.4" 20°47'31.6"
16	PKP na az. 315° w odległości 46m od anteny sektorowej az. 330°	0.3-2.0	<0.003*	<0.003*	<0.003*	0.003	0.05	49°40'4.8" 20°47'31.9"
17	PKP na az. 345° w odległości 47m od anteny sektorowej az. 330°	0.3-2.0	<0.003*	<0.003*	<0.003*	0.003	0.05	49°40'5.2" 20°47'33.0"
18	PKP na az. 360° w odległości 43m od anteny sektorowej az. 330°	0.3-2.0	<0.003*	<0.003*	<0.003*	0.003	0.05	49°40'5.2" 20°47'33.4"
19	PKP na az. 16° w odległości 49m od anteny sektorowej az. 330°	0.3-2.0	<0.003*	<0.003*	<0.003*	0.003	0.05	49°40'5.2" 20°47'34.1"
20	PKP na az. 54° w odległości 43m od anteny sektorowej az. 100°	0.3-2.0	<0.003*	<0.003*	<0.003*	0.003	0.05	49°40'4.4" 20°47'35.2"
21	PKP na az. 85° w odległości 47m od anteny	0.3-2.0	<0.003*	<0.003*	<0.003*	0.003	0.05	49°40'3.7" 20°47'35.9"

Sprawozdanie z badań bez pisemnej zgody laboratorium nie może być powielane inaczej niż w całości.
 Wynik przedstawione w niniejszym sprawozdaniu odnoszą się wyłącznie do badanego obiektu i do warunków i konfiguracji urządzeń w dniu wykonywania pomiarów.

	sektorowej az. 100°							
22	PKP na az. 115° w odległości 50m od anteny sektorowej az. 100°	0.3-2.0	<0.003*	<0.003*	<0.003*	0.003	0.05	49°40'3.0" 20°47'35.9"
23	PKP na az. 130° w odległości 41m od anteny sektorowej az. 100°	0.3-2.0	<0.003*	<0.003*	<0.003*	0.003	0.05	49°40'2.6" 20°47'35.2"
24	PKP na az. 146° w odległości 53m od anteny sektorowej az. 100°	0.3-2.0	<0.003*	<0.003*	<0.003*	0.003	0.05	49°40'2.3" 20°47'35.2"
25	PKP na az. 164° w odległości 48m od anteny sektorowej az. 210°	0.3-2.0	<0.003*	<0.003*	<0.003*	0.003	0.05	49°40'1.9" 20°47'34.1"
26	PKP na az. 180° w odległości 39m od anteny sektorowej az. 210°	0.3-2.0	<0.003*	<0.003*	<0.003*	0.003	0.05	49°40'2.3" 20°47'33.4"
27	PKP na az. 195° w odległości 47m od anteny sektorowej az. 210°	0.3-2.0	<0.003*	<0.003*	<0.003*	0.003	0.05	49°40'2.3" 20°47'33.0"
28	PKP na az. 225° w odległości 45m od anteny sektorowej az. 210°	0.3-2.0	<0.003*	<0.003*	<0.003*	0.003	0.05	49°40'2.6" 20°47'31.9"
29	PKP na az. 240° w odległości 45m od anteny sektorowej az. 210°	0.3-2.0	<0.003*	<0.003*	<0.003*	0.003	0.05	49°40'3.0" 20°47'31.6"
30	PKP na az. 256° w odległości 45m od anteny sektorowej az. 210°	0.3-2.0	<0.003*	<0.003*	<0.003*	0.003	0.05	49°40'3.4" 20°47'31.2"
-	GKP w odległości 281m od anteny sektorowej az. 210°	0.3-2.0	<0.003*	<0.003*	<0.003*	0.003	0.05	49°39'55.8" 20°47'26.5"
-	GKP w odległości 321m od anteny sektorowej az. 100°	0.3-2.0	<0.003*	<0.003*	<0.003*	0.003	0.05	49°40'1.9" 20°47'49.2"
-	GKP w odległości 276m od anteny sektorowej az. 330°	0.3-2.0	<0.003*	<0.003*	<0.003*	0.003	0.05	49°40'11.3" 20°47'26.5"

GKP – Główny Kierunek Pomiarowy

Sprawozdanie z badań bez pisemnej zgody laboratorium nie może być powielane inaczej niż w całości.
 Wynik przedstawione w niniejszym sprawozdaniu odnoszą się wyłącznie do badanego obiektu i do warunków i konfiguracji urządzeń w dniu wykonywania pomiarów.

PKP – Pomocniczy Kierunek Pomiarowy

¹ wyniki oznaczone * są wynikami poniżej czułości zestawu pomiarowego i są wynikami spoza zakresu akredytacji. Do obliczenia wyniku skorygowanego przyjęto wartość skorelowaną z rzeczywistym wynikiem pomiaru - dolną granicę akredytowanego zakresu pomiarowego metody

² współrzędne geograficzne pozyskane metodą pomiaru bezpośredniego

³ do wyznaczenia wartości wskaźnikowej W_{ME} i W_{MH} przyjęto na podstawie uzgodnień z klientem oraz rozpoznania źródeł, jako wartości dopuszczalne pola elektrycznego i magnetycznego odpowiednio 28 V/m i 0,073 A/m.

⁴ do wyznaczenia niepewności dla wyników poniżej czułości zestawu pomiarowego, przyjęto niepewność dla minimalnej wartości z zakresu pomiarowego.

⁵ maksymalna wartość chwilowa

Niepewność oszacowano zgodnie z dokumentem P-03 „Procedura nadzoru nad wyposażeniem” w postaci niepewności rozszerzonej wynikającej z niepewności standardowej pomnożonej przez współczynnik rozszerzenia $k=2$.

Całkowita szacowana niepewność rozszerzona składowej E wynosi odpowiednio:

sonda SF-03: 28.8% dla częstotliwości do 4 GHz, sonda SF-04: 29.2% dla częstotliwości do 4 GHz

Pomiar wykonany metodą 2 sond, opisaną w artykule Medycyna Pracy 2015;66(5):701-712 „Optymalizacja metodyki pomiaru wieloczęstotliwościowego pola elektromagnetycznego stacji bazowych telefonii komórkowej”.

Umiejscowienie pionów (punktów) pomiarowych przedstawiono w załączniku nr 2 do niniejszego sprawozdania.

10. Omówienie wyników pomiarów

W związku z tym, że żadna z wartości zmierzonych, udokumentowanych w tabelach w pkt. 9, uzyskanych w skutek zastosowania pomiaru szerokopasmowego, powiększonego o rozszerzoną niepewność pomiaru U dla współczynnika rozszerzenia $k = 2$ nie przekroczyła 70% najniższej dopuszczalnej wartości składowej elektrycznej lub magnetycznej pola dla objętych pomiarami zakresów częstotliwości, nie uwzględnia się poprawek pomiarowych.

W wyniku zastosowania sposobu sprawdzenia dotrzymania dopuszczalnych poziomów pól elektromagnetycznych w środowisku, zgodnie pkt 25 ppkt 1 Rozporządzenia Ministra Klimatu z dnia 17 lutego 2020 r. (Dz. U. 2022, poz. 2630), w związku z tym, że żadna z wartości wskaźnikowych, udokumentowanych w tabelach w pkt. 9 nie przekracza wartości 1, stwierdza się, że w miejscach, w których wykonano pomiary w otoczeniu instalacji radiokomunikacyjnej 56453 (26452N!) KNO_KORZENNA_KONIUSZOWA, dopuszczalne poziomy pól elektromagnetycznych w środowisku należy uznać za dotrzymane.

11. Podstawa prawna

- 1) Ustawa z dnia 27 kwietnia 2001 r. Prawo ochrony środowiska (Dz.U. 2024 poz. 54 z późn. zm.)
- 2) Rozporządzenie Ministra Zdrowia z dnia 17 grudnia 2019 r. w sprawie dopuszczalnych poziomów pól elektromagnetycznych w środowisku (Dz. U. 2019, poz. 2448)
- 3) Rozporządzenie Ministra Klimatu z dnia 17 lutego 2020 r. w sprawie sposobów sprawdzania dotrzymania dopuszczalnych poziomów pól elektromagnetycznych w środowisku (Dz. U. 2022, poz. 2630),
- 4) Akredytacja nr AB 419 wydana przez Polskie Centrum Akredytacji (wydanie 22, z dnia 9 stycznia 2024 r.)

12. Spis załączników

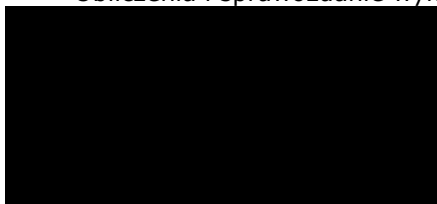
Załącznik 1. Lokalizacja obiektu badań

Załącznik 2. Usytuowanie pionów (punktów) pomiarowych

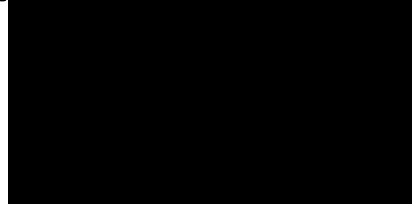
Załącznik 3. Dokumentacja fotograficzna obiektu badań

13. Data wydania i autoryzowania sprawozdania

Obliczenia i sprawozdanie wykonał :

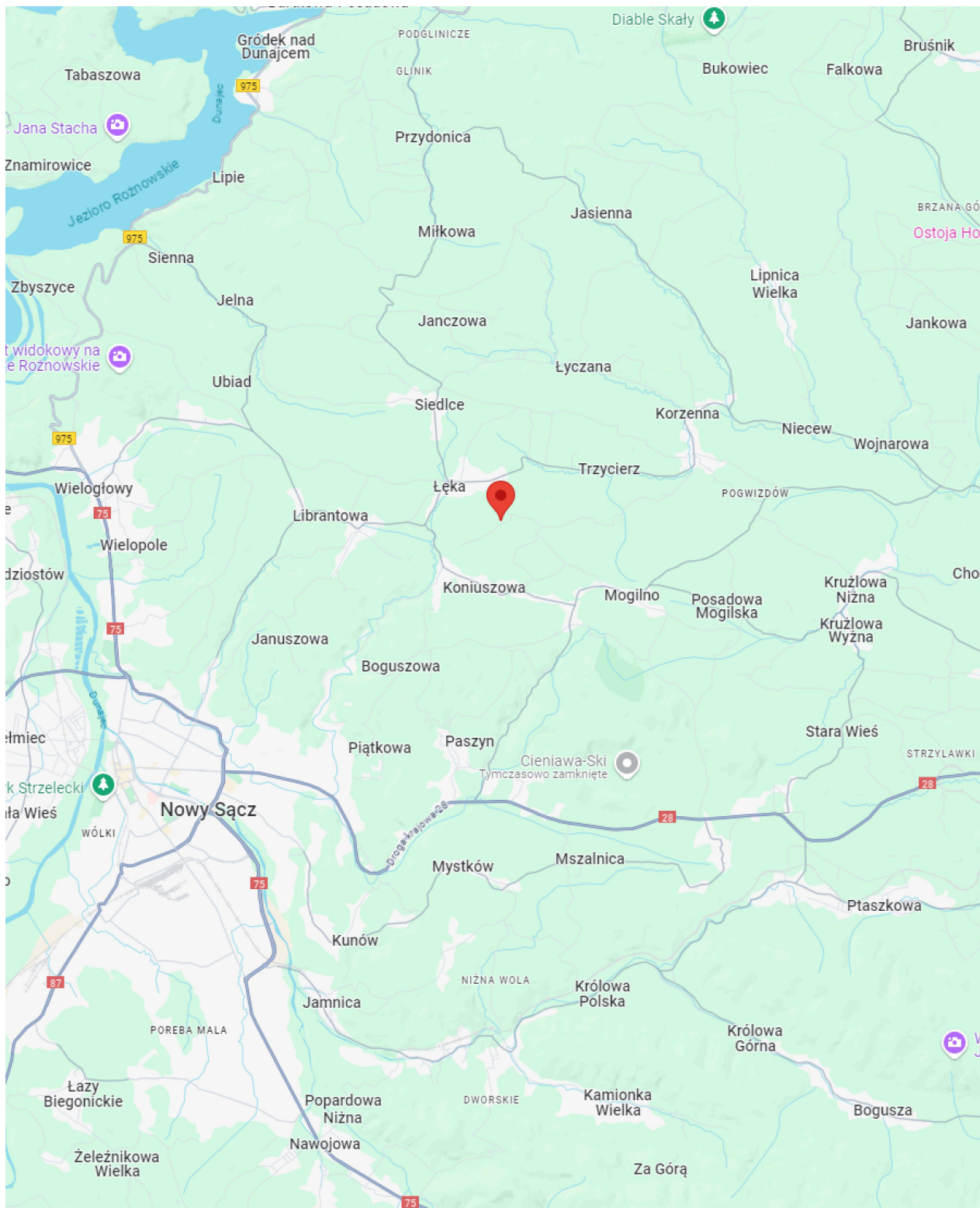


Sprawozdanie autoryzował:



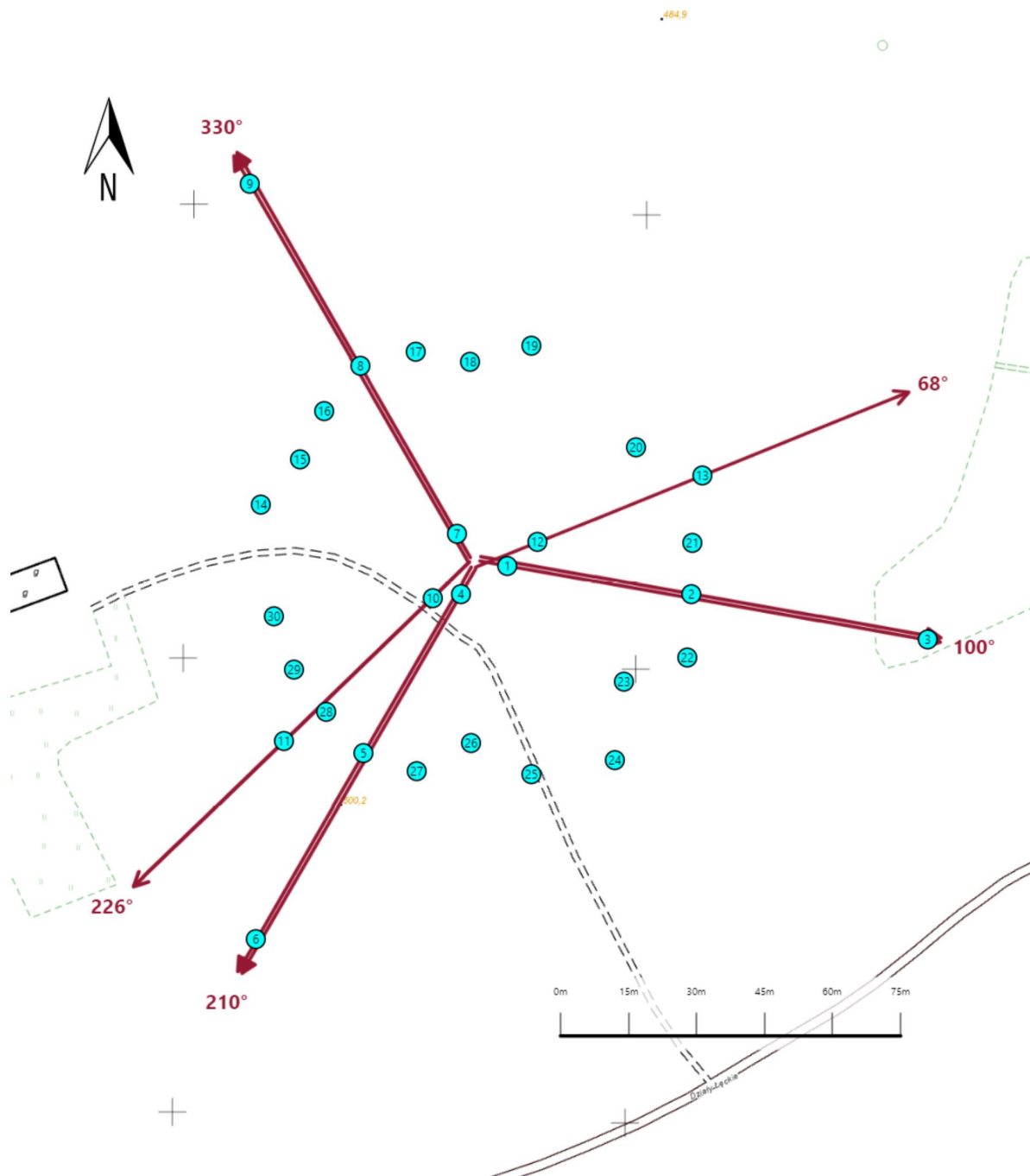
Koniec sprawozdania





Sprawozdanie z badań bez pisemnej zgody laboratorium nie może być powielane inaczej niż w całości.
Wynik przedstawione w niniejszym sprawozdaniu odnoszą się wyłącznie do badanego obiektu i do warunków i konfiguracji urządzeń w dniu wykonywania pomiarów.



Załącznik nr 1	<p>Instalacja radiokomunikacyjna T-Mobile Polska S.A. 56453 (26452N!) KNO_KORZENNA_KONIUSZOWA</p> <p>Lokalizacja instalacji radiokomunikacyjnej</p>
-----------------------	--

Sprawozdanie z badań bez pisemnej zgody laboratorium nie może być powielane inaczej niż w całości.
Wynik przedstawione w niniejszym sprawozdaniu odnoszą się wyłącznie do badanego obiektu i do warunków i konfiguracji urządzeń w dniu wykonywania pomiarów.



Załącznik nr 2	<p style="text-align: center;">Instalacja radiokomunikacyjna T-Mobile Polska S.A. KNO_KORZENNA_KONIUSZOWA (26452N!) Usytuowanie pionów pomiarowych w otoczeniu instalacji radiokomunikacyjnej</p>
	<p>Legenda:</p> <div style="display: flex; justify-content: space-around; align-items: flex-end;"> <div style="text-align: center;">  Brak dostępu </div> <div style="text-align: center;">  Pion pomiarowy </div> <div style="text-align: center;">  Kierunek oddziaływania anten sektorowych </div> <div style="text-align: center;">  Kierunek oddziaływania anten radioliniowych </div> </div>

Sprawozdanie z badań bez pisemnej zgody laboratorium nie może być powielane inaczej niż w całości.
 Wynik przedstawione w niniejszym sprawozdaniu odnoszą się wyłącznie do badanego obiektu i do warunków i konfiguracji urządzeń w dniu wykonywania pomiarów.



Załącznik nr 3	<p>Instalacja radiokomunikacyjna T-Mobile Polska S.A. 56453 (26452N!) KNO_KORZENNA_KONIUSZOWA</p> <p>Dokumentacja fotograficzna</p>
----------------	---

Sprawozdanie z badań bez pisemnej zgody laboratorium nie może być powielane inaczej niż w całości.
Wynik przedstawione w niniejszym sprawozdaniu odnoszą się wyłącznie do badanego obiektu i do warunków i konfiguracji urządzeń w dniu wykonywania pomiarów.